



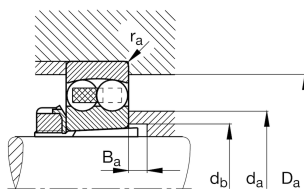
FAG

2217-K-M

Радиальный сферический шарикоподшипник

Радиальный сферический шарикоподшипник 22...-K-M, коническое отверстие, конусность 1:12, массивный латунный сепаратор

Техническая информация



Ваш текущий вариант продукта

Исполнение отверстия	K	Коническое, 1:12
Уплотнение	Without	Not sealed
Cage	M	Solid brass cage, ball guided
Tolerance class	PN	Tolerance class PN, acc. to DIN 620
Радиальный зазор	CN (Group N)	Normal internal clearance
Lubricant	Without	Bearing not greased

Основные размеры и рабочие характеристики

d	85 mm	Диаметр отверстия
D	150 mm	Наружный диаметр
B	36 mm	Ширина
C _r	59.000 N	Динамическая грузоподъемность, радиальная
C _{0r}	23.600 N	Статическая грузоподъемность, радиальная
C _{ur}	1.380 N	Предел усталостной нагрузки, радиальный
n _G	7.200 1/min	Предельная частота вращения
n _{gr}	5.200 1/min	Номинальная тепловая частота вращения
m	2,632 kg	Вес



Присоединительные размеры

$d_{a \min}$	96 mm	Мин. диаметр заплечика вала
$d_{a \max}$	102 mm	Макс. диаметр заплечика вала
$D_{a \max}$	139 mm	Макс. диаметр заплечика корпуса
$d_{b \min}$	91 mm	Мин. диаметр под втулку
$B_{a \min}$	12 mm	Мин. глубина под втулку
$r_{a \max}$	2 mm	Макс. радиус галтели

Габаритные размеры

r_{\min}	2 mm	Мин. размер монтажной фаски
D_1	129,97 mm	Диаметр заплечика для наружного кольца
d_1	105,2 mm	Диаметр заплечика внутреннего кольца

Диапазон температур

T_{\min}	-30 °C	Мин. рабочая температура
T_{\max}	150 °C	Макс. рабочая температура

Коэффициенты для расчета

e	0,26	Предельное значение F_a/F_r для применимости различн. значений коэффициентов X и Y
Y_1	2,46	Динамический коэффициент осевой нагрузки
Y_2	3,8	Динамический коэффициент осевой нагрузки
Y_0	2,57	Статический коэффициент осевой нагрузки

Дополнительная информация

H317

Закрепительная втулка



Характеристики



Радиальная нагрузка



Осевая нагрузка в одном направлении



Осевая нагрузка в обоих направлениях



Смазывание пластичной смазкой



Смазывание маслом



Без уплотнений



Статические угловые и линейные несоосности



Динамические угловые и линейные несоосности